

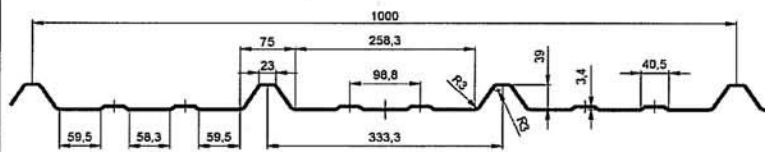
Stahltrapezprofil Typ

H 39/333

Querschnitts- und Bemessungswerte

EN 1993-1-3

Profiltafel in **Negativlage**



Anlage 4.1

Als Typenentwurf

in bautechnischer Hinsicht geprüft

Prüfbescheid-Nr. **T14-033**

Landesdirektion Sachsen

- Landesstelle für Bautechnik -

Leipzig, den 24.03.2014



Nennstreckgrenze des Stahlkerns $f_{y,k} = 320 \text{ N/mm}^2$

Charakteristische Tragfähigkeitswerte für andrückende Flächenbelastung ³⁾

Nennblechdicke ¹²⁾	Feldmoment	Endauflagerkraft ⁶⁾		Elastisch aufnehmbare Schnittgrößen an Zwischenauflägern ^{1) 2) 4) 5)}												
				Quer- kraft	Lineare Interaktion						Zwischenaflagerkräfte ¹¹⁾					
					Stützmomente ¹¹⁾			Zwischenaflagerkräfte ¹¹⁾			Stützmomente ¹¹⁾			Zwischenaflagerkräfte ¹¹⁾		
					$l_{a,B} = 60 \text{ mm}$	$l_{a,B} = 160 \text{ mm}$	$l_{a,B} = -$	$l_{a,B} = 60 \text{ mm}$	$l_{a,B} = 160 \text{ mm}$	$l_{a,B} = -$	$l_{a,B} = 60 \text{ mm}$	$l_{a,B} = 160 \text{ mm}$	$l_{a,B} = -$			
t_N	$M_{c,Rk,F}$	$R_{w,Rk,A}$	$V_{w,Rk}$	$M_{0,Rk,B}$	$M_{c,Rk,B}$	$M_{0,Rk,B}$	$M_{c,Rk,B}$	$M_{0,Rk,B}$	$M_{c,Rk,B}$	$R_{0,Rk,B}$	$R_{w,Rk,B}$	$R_{0,Rk,B}$	$R_{w,Rk,B}$	$R_{0,Rk,B}$	$R_{w,Rk,B}$	
mm	kNm/m	kN/m		kN/m												
0,50	0,63	1,88	2,95	12,01	0,80	0,64	0,80	0,64	-	-	8,58	6,86	12,73	10,18	-	-
0,63	1,01	3,00	4,62	19,77	1,13	0,90	1,13	0,90	-	-	13,37	10,70	19,64	15,71	-	-
0,75	1,29	4,25	6,44	28,62	1,46	1,17	1,46	1,17	-	-	18,56	14,85	27,04	21,64	-	-
0,88	1,53	5,82	8,70	36,49	1,82	1,46	1,82	1,46	-	-	24,98	19,98	36,12	28,90	-	-

Reststützmomente ⁷⁾

t_N	$l_{a,B} = 60 \text{ mm}$			$l_{a,B} = 160 \text{ mm}$			$l_{a,B} = -$			Reststützmomente $M_{R,Rk}$		
	min L	max L	max $M_{R,Rk}$	min L	max L	max $M_{R,Rk}$	min L	max L	max $M_{R,Rk}$	$M_{R,Rk} = 0$ für $L \leq \min L$ $M_{R,Rk} = \max M_{R,Rk}$ für $L \geq \max L$ $M_{R,Rk} = \frac{L - \min L}{\max L - \min L} \cdot \max M_{R,Rk}$		
	mm	m	kNm/m	m	kNm/m	m	kNm/m					
0,50	-	-	-	-	-	-	-	-	-			
0,63	-	-	-	-	-	-	-	-				
0,75	-	-	-	-	-	-	-	-				
0,88	-	-	-	-	-	-	-	-				

Charakteristische Tragfähigkeitswerte für abhebende Flächenbelastung ^{1) 2)}

Nennblechdicke	Feldmoment	Befestigung in jedem anliegenden Gurt							Befestigung in jedem 2. anliegenden Gurt				
		Endauflagerkraft	Lineare Interaktion Zwischenaflager				Endauflagerkraft	Lineare Interaktion Zwischenaflager					
			$M_{0,Rk,B}$	$M_{c,Rk,B}$	$R_{0,Rk,B}$	$R_{w,Rk,B}$		$V_{w,Rk}$	$R_{w,Rk,A}$	$M_{0,Rk,B}$	$M_{c,Rk,B}$	$R_{0,Rk,B}$	$R_{w,Rk,B}$
t_N	$M_{c,Rk,F}$	$R_{w,Rk,A}$	$M_{0,Rk,B}$	$M_{c,Rk,B}$	$R_{0,Rk,B}$	$R_{w,Rk,B}$	$V_{w,Rk}$	$R_{w,Rk,A}$	$M_{0,Rk,B}$	$M_{c,Rk,B}$	$R_{0,Rk,B}$	$R_{w,Rk,B}$	$V_{w,Rk}$
mm	kNm/m	kN/m	kNm/m		kN/m			kN/m	kNm/m		kN/m		
0,50	0,64	12,01	0,79	0,63	-	-	12,01	6,01	0,39	0,32	-	-	6,01
0,63	0,90	19,77	1,26	1,01	-	-	19,77	9,88	0,63	0,50	-	-	9,88
0,75	1,17	28,62	1,61	1,29	-	-	28,62	14,31	0,81	0,65	-	-	14,31
0,88	1,46	36,49	1,91	1,53	-	-	36,49	18,24	0,95	0,76	-	-	18,24

Fußnoten s. Beiblatt 1/2 bzw. 2/2

